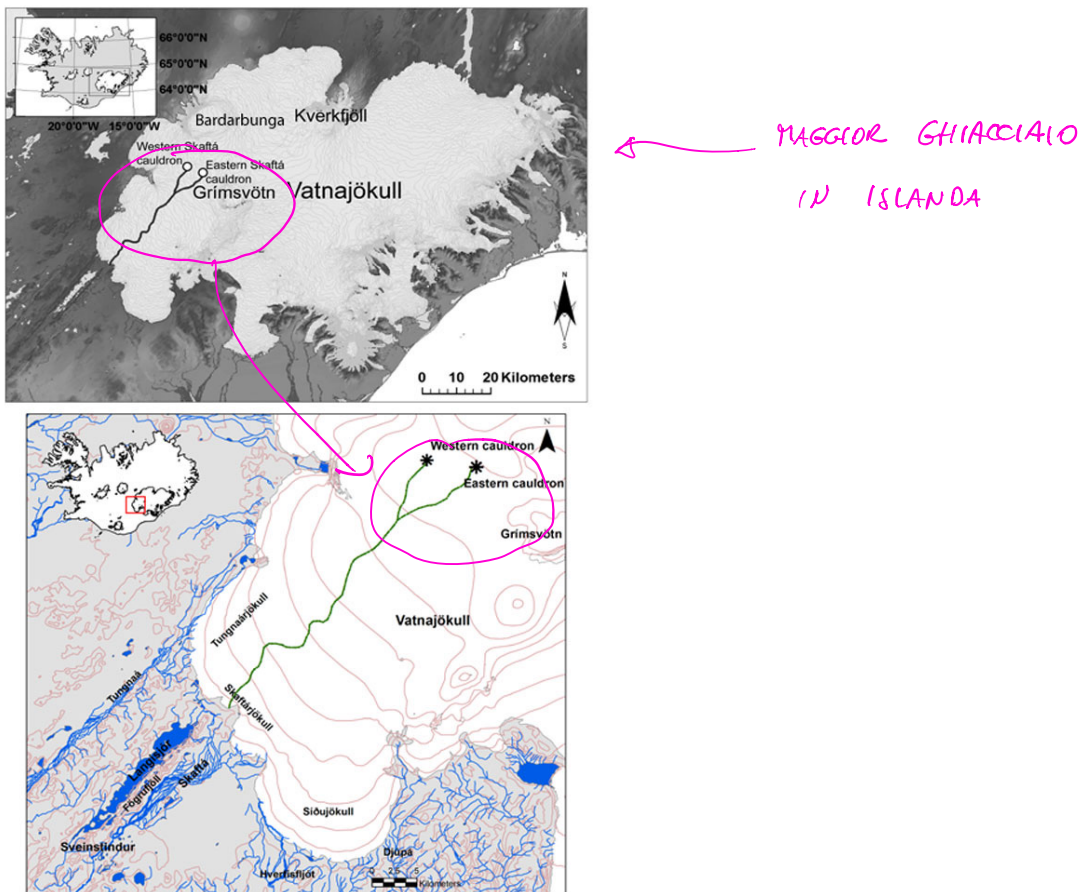


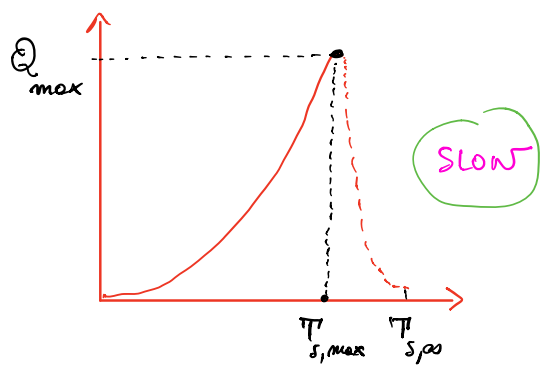
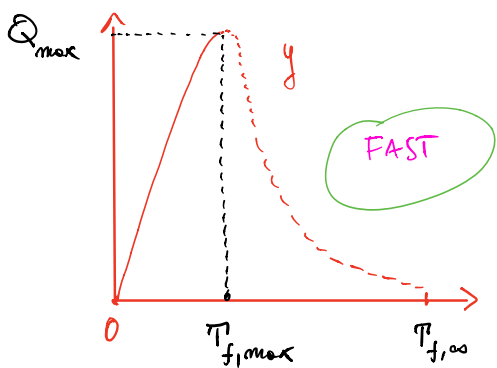
J.1



JÖKULHLAUP : alluvione subglaciale

2 Tipi di IDROGRAFE

$Q$  in  $m^3/s$ ,  $T$  in giorni

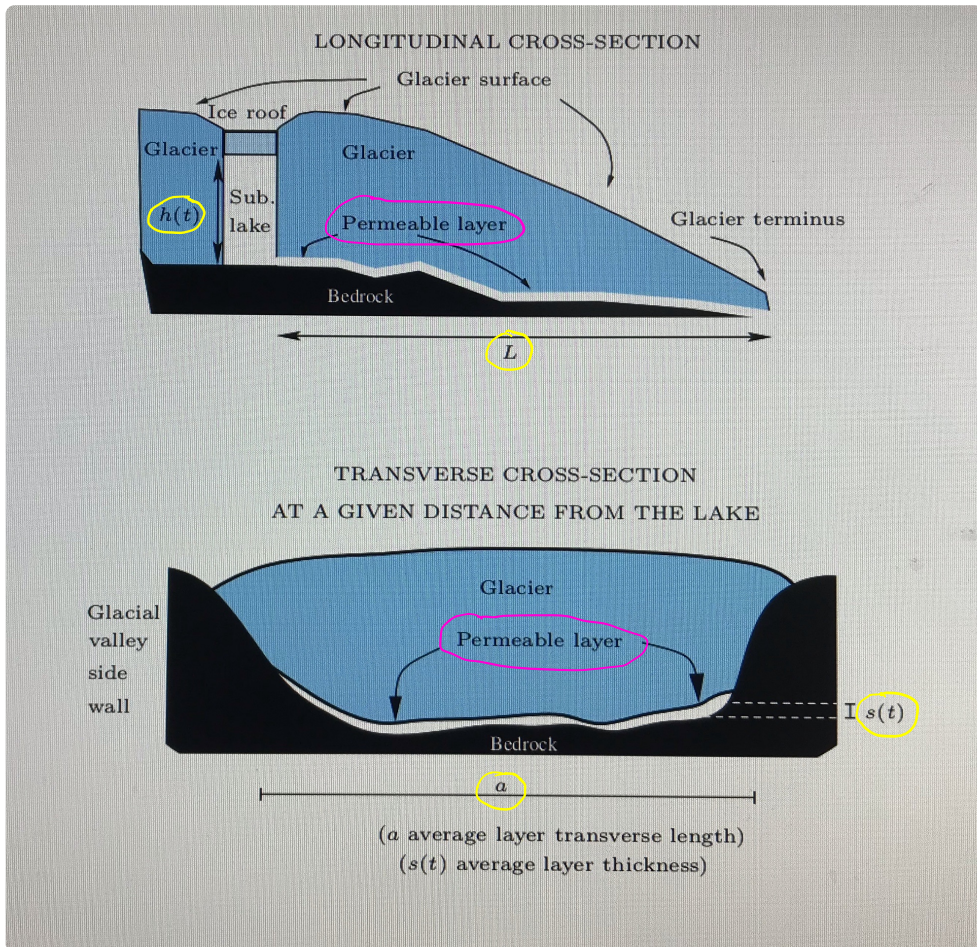


Le diverse caratteristiche in sintesi

FAST	SLOW
$Q'' = \begin{cases} \approx 0 & \text{per } T < T_{\max} \\ > 0 & \text{per } T \in (T_{\max}, T_\infty) \end{cases}$	$Q'' = \begin{cases} > 0 & \text{per } T < T_{\max} \\ \approx 0 & \text{per } T \in (T_{\max}, T_\infty) \end{cases}$
$T_\infty < 7 \text{ giorni}$	$T_\infty \approx 30 \text{ giorni}$
$T_{\max} \approx 1 \div 2 \text{ giorni}$	$T_{\max} \approx 7 \div 10 \text{ giorni}$
$Q_{\max} \approx 1000 \div 2000$	$Q_{\max} \approx 10000 \div 20000$

Un'altra differenziazione consiste nel fatto che nel caso slow il drenaggio appare associato alla formazione di canali subglaciali il cui diametro si allarga per attrito e fusione del ghiaccio. Nel caso fast il drenaggio appare associato al "sollevamento" di una grande porzione di ghiacciaio.

GEOMETRIA (vedi figura)



Dominio 4 : Come si scarica l'acqua sotto il ghiacciaio ?

Ipotesi :

- 1) La regione fra il letto roccioso e la base del ghiacciaio è un meno poroso
- 2) Il regime è turbolento (non vole la legge di Darcy)

L'ipotesi 2 è giustificata dal fatto che l'efflusso di grandi quantità di acque ( $\approx 10^9 \text{ m}^3$ ) avviene in poco tempo ( $\approx 5 \div 6$  giorni)

Ipotizziamo la seguente legge per esprimere il legame fra le portate istantanee globali  $Q(t)$ , sezione trasversale istantanea  $S(t)$  e il gradiente di pressione  $\frac{\Delta p}{L}$  dovuto all'acqua nel letto:

$$Q^2(t) = \frac{S^{8/3}(t)}{\rho_w g K} \left( \frac{\Delta p}{L} + \rho_w g \sin \theta \right) \quad (1)$$

$\rho_w$  densità dell'acqua,  $g$  accelerazione di gravità,  $\theta$  pendenza media del letto,  $L$  lunghezza longitudinale (vedi figura) e  $K$  è una costante dipendente sia dalla viscosità (dell'acqua) che dalla permeabilità del terreno poroso.

La (1) è una legge di tipo sperimentale: dice che

$$Q \text{ cresce come } S^{4/3} \text{ e con } \underbrace{\left( \frac{\Delta p}{L} + \rho_w g \sin \theta \right)^{1/2}}_{\text{testa idraulica}}$$

mentre è inversamente proporzionale a  $K^{1/2}$ . Notiamo che sperimentalmente  $Q$  cresce con la permeabilità e decresce con la viscosità, ovvero  $1/K$  è ragionevolmente proporzionale al rapporto  $\kappa/\mu$  dove  $\kappa$  è la permeabilità e  $\mu$  la viscosità.

Pressione dell'acqua: supponiamo che valga un profilo lineare in  $x$

$$p(x,t) = p_{in}(t) - \frac{\Delta p(t)}{L} x + p_{out}^0 \quad (2)$$

per cui  $\Delta p(t) = p_{in}(t) - p(L,t)$ .

Il valore di  $p_{\text{int}}(t)$  è dettato dal contenuto d'acqua sul lago e dal peso del tetto di ghiaccio



$$\begin{aligned} p_{\text{int}}(t) &= \rho_w g h(t) + \rho_i h_2 \\ &= \rho_w g \left( h(t) + \frac{\rho_i}{\rho_w} h_2 \right) \quad (3) \end{aligned}$$

Assumiamo anche

$$\Delta p(t) = p_{\text{int}}(t) \left( 1 - e^{-s(t)/s_c} \right) \quad (4)$$

dove  $s_c$  è uno spessore caratteristico.

$$\text{Notiamo che } s(t) \ll s_c \Rightarrow \Delta p(t) \approx 0$$

e la pressione sul muro permeabile è ovunque uguale a quella presente alla base del lago. Al contrario, se  $s(t) \approx s_c$

$$\Delta p(t) \approx p_{\text{int}}(t) \left( 1 - \frac{1}{e} \right) \quad (\approx 65\% \text{ di } p_{\text{int}}(t))$$

In questo caso  $\frac{\Delta p}{L} \rightarrow \frac{p_{\text{int}}}{L} \left( 1 - \frac{1}{e} \right)$ , e quindi (con  $p_{\text{ext}} = 0$ )

$$p(x,t) \approx p_{\text{int}}(t) \left( 1 - \frac{x}{L} \left( 1 - \frac{1}{e} \right) \right)$$

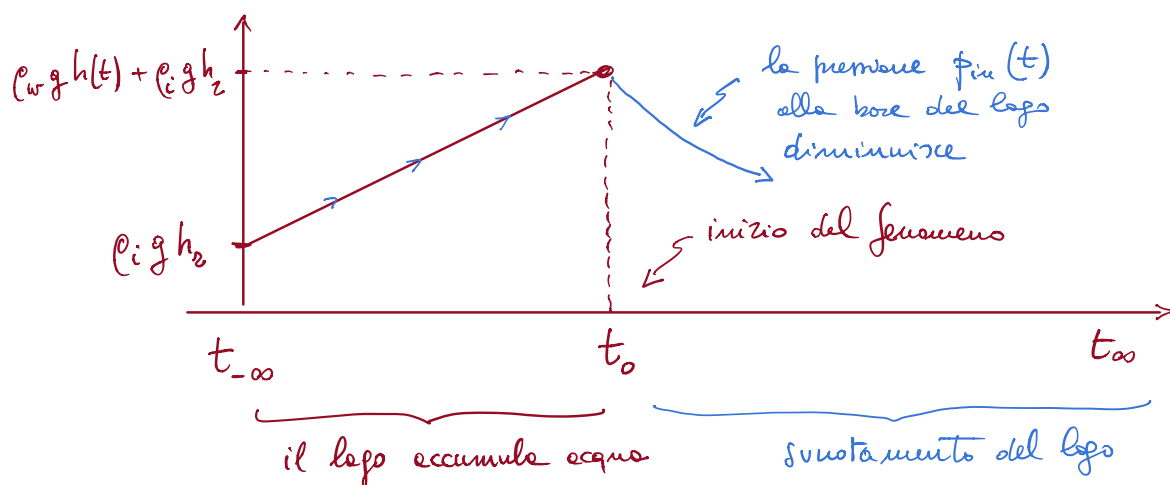
che risulta:

J.6

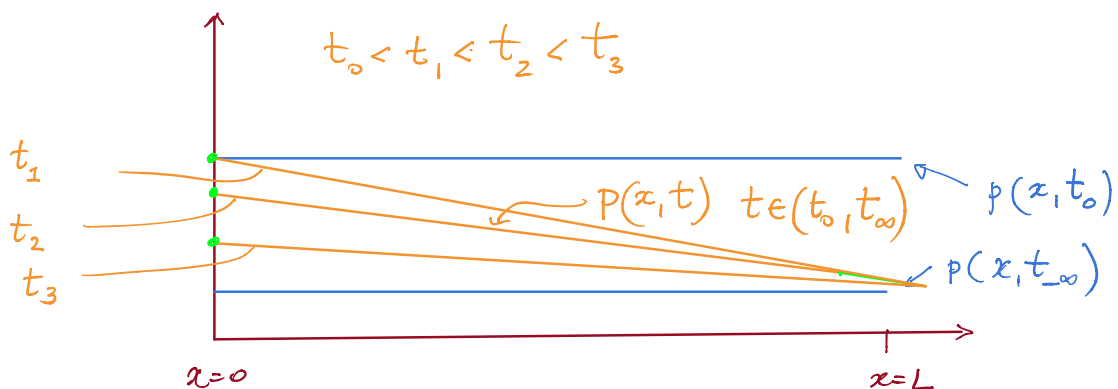
1. Fino a quando il fenomeno non ha inizio, la pressione dovuta all'acqua presente sul suolo poroso è uniforme ma non sufficiente a sollevare il ghiaccio sovrastante

2. Non appena il fenomeno ha inizio la pressione assume il profilo classico di un moto completamente sviluppato del tipo di quello di un moto di Couette fra piani.

Vediamo il comportamento della pressione in  $x=0$  al vario di  $t$ :



Vediamo il comportamento lungo  $x$  al vario di  $t$ :



sotto queste ipotesi possiamo scrivere

J.7

$$Q^2(t) = \frac{S^{8/3}(t)}{L K} \left[ \left( h(t) + \frac{\rho_i}{\rho_w} h_0 \right) \left( 1 - e^{\frac{s(t)}{s_c}} \right) + d \right] \quad (5)$$

ove  $d = L \sin \theta$ .

Chiaramente  $s(t)$  e  $h(t)$  sono funzioni incognite: dobbiamo scrivere le leggi di bilancio per queste due grandezze in modo da descrivere sia la fase di smottamento  $(t_0, t_\infty)$  sia la fase di riconca  $(t_\infty, t_0)$ .

OSSERVAZIONI: vi sono molti dati disponibili per il logo subglaciale sottostante la caldere orientale dello Skjofta sul ghiacciaio Vatnajökull in Islanda. Questi dati mostrano che

$$(t_0, t_\infty) \approx 1 \text{ settimana} \quad (\text{smottamento})$$

$$(t_\infty, t_0) \approx 2 \div 3 \text{ anni} \quad (\text{riconca})$$

Si tratta cioè di un fenomeno praticamente periodico. Qualche

$$Q_{\max} \approx 10^3 \text{ m}^3/\text{s}$$

$$Q_{\text{tot}} = \int_{t_0}^{t_\infty} Q(t) \approx 2 \div 300 \text{ Gt} \quad (\text{cioè } 2 \div 3 \times 10^8 \text{ m}^3)$$

$$(1 \text{ Gt} = 10^6 \text{ m}^3)$$

Sono inoltre noti i seguenti dati:

$$d \text{ (distacco da } x=0 \text{ a } x=L) \approx 550 \text{ m}$$

$$A \text{ (area del lago)} \approx 3 \div 4 \text{ km}^2$$

$$\bar{H} \text{ (spessore } \underline{\text{medio}} \text{ del ghiaccio)} \approx 470 \text{ m}$$

$$h_2 \text{ (spessore del tetto di ghiaccio sul lago)} \approx 400 \text{ m}$$

$$h_0 \text{ (livello del lago all'inizio dello smottamento)} \approx 100 \text{ m}$$

Equazioni di bilancio : definiamo

$$\bar{H} = \frac{1}{L} \int_0^L H(x) dx$$

dove  $H(x)$  è lo spessore del ghiaccio in  $(0, L)$ .

Le forze che agiscono sul ghiaccio sono

$$(a) \text{ peso del ghiaccio} : \underbrace{\rho_i g \cos \theta}_{\text{peso specifico}} \cdot \underbrace{\frac{\bar{H}}{\text{Volume}}}_{\text{Volume}}$$

dove  $\theta$  è la pendenza media del letto roccioso

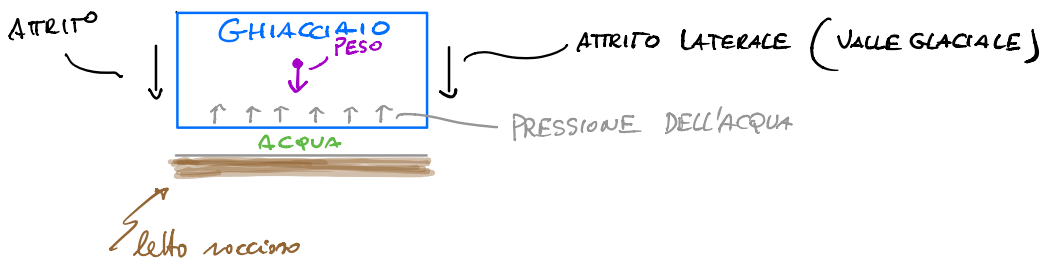
(b) pressione esercitata dall'acqua sul fondo del ghiaccio:

$$a \int_0^L p(x, t) dx$$

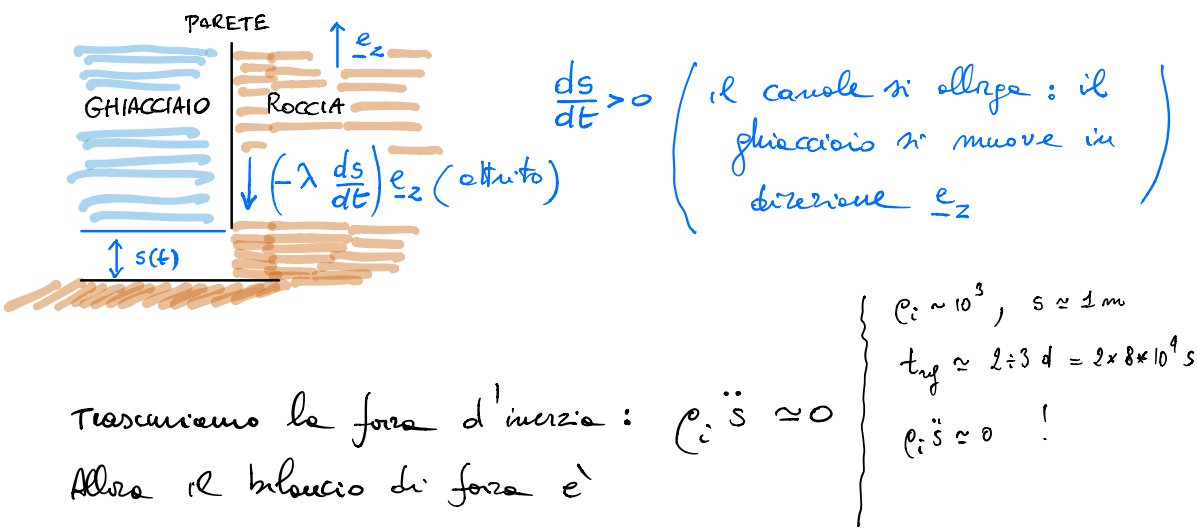
$$(c) \text{ attrito dinamico laterale} : \lambda \frac{ds}{dt} \quad (\lambda > 0) \quad (6)$$

dove  $\lambda$  è il coefficiente d'attrito.

J.9



L'attrito laterale contrasta le spinte generate dalla pressione :



$$a L \bar{H} \rho_i g \cos \theta + \lambda \dot{s} = a \int_0^L p(x,t) dx \quad (7)$$

Nota bene : sia il letto roccioso che i ghiacciai sono supposti RIGIDI (cioè indefomabili). La (7) non è altro che la legge di Newton per il moto del ghiacciaio dove  $s$  è l'unica coordinate lagrangiana

Anche le leggi (7), come le (2)-(3)-(4), non sono dettate da altre motivazioni se non quella di scrivere un

modello matematico il più semplice possibile ma in grado di interpretare i risultati sperimentali.

Questa è (2) nella (7): innanzitutto

$$\begin{aligned} \int_0^L p(x,t) dx &= \int_0^L \left\{ p_{in}(t) - \frac{\Delta p(t)}{L} x \right\} dx = \\ &= p_{in}(t)L - \frac{\Delta p(t)}{2} L = \\ &= p_{in}(t)L \left( 1 - \frac{1}{2} \left( 1 - e^{-s(t)/s_c} \right) \right) = \\ &= \rho_w g \left( h(t) + \frac{\rho_i}{\rho_w} h_c \right) \frac{L}{2} \left( 1 + e^{-s(t)/s_c} \right) \end{aligned}$$

Dalla (7) segue allora

$$\begin{aligned} \dot{s} &= \frac{aL}{2\lambda} \rho_w g \left( h(t) + \frac{\rho_i}{\rho_w} h_c \right) \left( 1 + e^{-s(t)/s_c} \right) \\ &\quad - \frac{aL \bar{H}}{\lambda} \rho_i g \cos \theta \iff \\ \dot{s} &= \frac{aL \rho_w g}{\lambda} \left[ \left( h(t) + \frac{\rho_i}{\rho_w} h_c \right) \frac{1 + e^{-s(t)/s_c}}{2} - \bar{H} \frac{\rho_i}{\rho_w} \cos \theta \right] \quad (8) \end{aligned}$$

L'equazione che determina l'evoluzione di  $h(t)$  è quella della conservazione di volume.

Supponiamo che il volume d'acqua presente  
nel lago al tempo  $t$  sia descritto da

$$V(t) = A h(t)$$

con  $A$  costante.

Allora necessariamente il bilancio di massa richiede che

$$\frac{d}{dt}(A h(t)) = -Q(t) + Q_{in} \quad (9)$$

dove  $Q(t)$  è la portata istantanea in uscita e  $Q_{in}$  è il contributo in entrata (dovuto a attività geotermale, percolazione di acque meteoriche ecc.) ed andamento costante nel tempo.

E' possibile stimare  $Q_{in}$  in base ai dati osservati:

evento	$T$ (giorni)	$Q_{cum}$ (Gt)
1982-84	949	336
1984-86	826	239
1986-89	957	279
1989-91	747	219

$T$  = tempo trascorso fra un evento e il successivo = periodo di ricarica

$Q_{cum}$  = portata cumulativa associata all'evento = quantità totale di acque scaricate dal lago durante l'evento

Potremo supporre ragionevolmente

J.12

$$Q_{\text{cum}} \approx Q_{\text{in}} T$$

e quindi:

EVENTO	T (in secondi)	$Q_{\text{cum}}$ (in $\text{m}^3$ )	$Q_{\text{in}}$ (in $\text{m}^3/\text{s}$ )
1	$82 * 10^6$	$3,36 * 10^8$	4
2	$71 * 10^6$	$2,39 * 10^8$	3.36
3	$82.5 * 10^6$	$2,79 * 10^8$	3.38
4	$64.5 * 10^6$	$2,19 * 10^8$	3.39

OSSERVAZIONE: durante ogni singolo evento  $Q_{\text{max}} \approx 10^3 \text{ m}^3/\text{s}$  per cui è ragionevole assumere

$$\dot{A}h \approx -Q(t) \quad \text{durante l'evento} \quad (10)$$

e

$$\dot{A}h \approx Q_{\text{in}} \quad \text{fra due eventi consecutivi} \quad (11)$$

Comunque, per il momento, facciamo riferimento alla (9).

Guardando la (1) nella (9) e tenendo conto delle (2)-(3)-(4) si ha

$$\begin{aligned} \dot{h} &= -\frac{1}{A} \left[ \frac{S^{8/3}(t)}{\rho_w g K} \left( \frac{\Delta p}{L} + d \right) \right]^{1/2} + \frac{Q_{\text{in}}}{A} \\ &= -\frac{1}{A} \left\{ \frac{S^{8/3}(t)}{\rho_w g K} \left[ \frac{p_{\text{in}}(t)}{L} \left( 1 - e^{-\frac{S(t)}{S_c}} \right) + d \right] \right\}^{1/2} + \frac{Q_{\text{in}}}{A} \end{aligned}$$

## ADIMENSIONALIZZAZIONE

$$s^* = \frac{s}{s_{ref}} , \quad h^* = \frac{h}{h_{ref}} , \quad t^* = \frac{t}{t_{ref}} , \quad Q^* = \frac{Q}{Q_{ref}}$$

dove le scale "ref" sono da scegliere opportunamente.

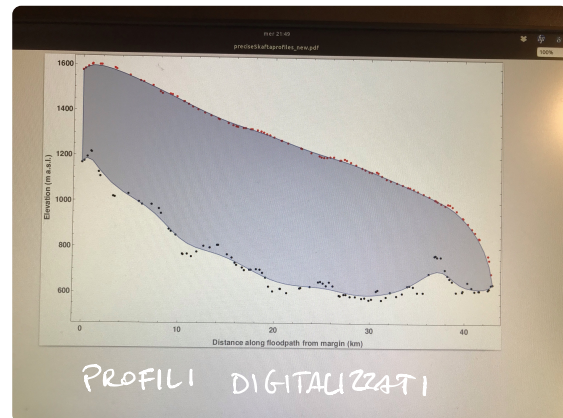
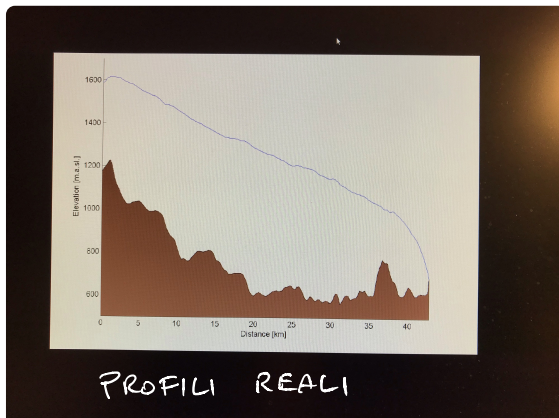
Nello studio del singolo evento  $t_{ref}$  è identificabile come il Tempo di durata della piena.

Per quanto riguarda  $h_{ref}$  deve essere confrontabile, ad esempio, con lo spessore medio del ghiacciaio.

Scegliersi

$$h_{ref} = \frac{\rho_i}{\rho_w} \bar{H} \quad (12)$$

Se si dispone dei profili digitalizzati del ghiacciaio e delle sue borse,  $\bar{H}$  è immediatamente calcolabile



Nel caso dello Skjalfjöldkull si trova

J. 14

$$\bar{H} = \frac{1}{L} \int_0^L H(x) dx \cong 470 \text{ m}$$

Per quanto riguarda  $Q_{ref}$  usiamo la conservazione di  
massa

$$Q_{ref} = \frac{A h_{ref}}{t_{ref}} \quad (13)$$

Per lo Skjalfjöldkull si ottiene  $A \approx 3 \text{ km}^2$ . Con  
 $t_{ref} \approx 1 \text{ settimana}$  si ha

$$Q_{ref} = \frac{(3 * 10^6 \text{ m}^2) * (0.9 * 470)}{7 * 24 * 3600} \approx 3 * 10^3 \frac{\text{m}^3}{\text{s}}$$

valore assolutamente confrontabile con le massime  
portate osservate in tutti gli eventi associati allo  
Skjalfjöldkull.

Finito le scuse, poniamo insieme il numero di equivalenza  
per s ed h in forma adimensionale

Per semplicità di scrittura evitiamo l'uso dell' "\*" nelle  
variabili adimensionali.

Equazione per  $s(t)$  (dimensionale)

J.15

$$\dot{s} = \frac{\alpha L \rho_w g}{\lambda} \left[ \left( h(t) + \frac{\rho_i}{\rho_w} h_e \right) \frac{1 + e^{-s(t)/s_c}}{2} - \bar{H} \frac{\rho_i}{\rho_w} \cos \theta \right]$$

$$\frac{s_{ref}}{t_{ref}} \dot{s} = \frac{\alpha L \rho_w g}{\lambda} \left[ h_{ref} \left( h(t) + \frac{\rho_i}{\rho_w} \frac{h_e}{h_{ref}} \right) \left( \frac{1 + \exp(-\frac{s_{ref}}{s_c} s(t))}{2} \right) - \left( \bar{H} \frac{\rho_i}{\rho_w} \cos \theta \right) \right]$$

$$\left( \frac{s_{ref}}{t_{ref}} \cdot \frac{\lambda}{\alpha L \rho_w g h_{ref}} \right) \dot{s} = \left( h + \frac{\rho_i}{\rho_w} \frac{h_e}{h_{ref}} \right) \left( \frac{1 + \exp(-\frac{s_{ref}}{s_c} s)}{2} \right) - \left( \bar{H} \frac{\rho_i}{\rho_w} \cos \theta \right)$$

= 1 in base alla (12)

Poniamo

$$\left( \frac{s_{ref}}{t_{ref}} \cdot \frac{\lambda}{\alpha L \rho_w g h_{ref}} \right) = \frac{1}{\alpha} , \quad \frac{s_{ref}}{s_c} = \frac{1}{\gamma}$$

dove  $[\alpha] = [\gamma] = 1$  (sono adimensionali)

e introduciamo una nuova variabile

$$z(t) = h(t) + \frac{\rho_i}{\rho_w} \frac{h_e}{h_{ref}} = h(t) + \frac{h_e}{\bar{H}}$$

dove abbiamo usato la (12).